

И. В. Украинец, Н. Л. Березнякова, В. А. Паршиков, А. В. Туров^a

4-ГИДРОКСИХИНОЛОНЫ-2

129*. СИНТЕЗ И СТРОЕНИЕ БРОМИДА 2-БРОММЕТИЛ-4-КАРБОКСИ-5-МЕТИЛ-1,2-ДИГИДРООКСАЗОЛО[3,2-*a*]- ХИНОЛИНИЯ

Бромирование N-аллил-4-метил-2-оксо-1,2-дигидрохинолин-3-карбоновой кислоты подобно 4-гидроксипроизводным сопровождается замыканием пятичленного оксазольного ядра, но в отличие от них приводит к образованию соли – бромида 2-бромметил-4-карбокси-5-метил-1,2-дигидрооксазоло[3,2-*a*]хинолиния.

Ключевые слова: оксазоло[3,2-*a*]хинолин-4-карбоновая кислота, бромирование, гетероциклизация, РСА.

Способность N-аллилзамещенных 4-гидрокси-2-оксо-1,2-дигидрохинолинов и пиридинов претерпевать при бромировании молекулярным бромом циклизацию в 2-бромметил-5-оксо-1,2-дигидро-5Н-оксазоло[3,2-*a*]азагетероциклы основана на их способности образовывать высоконуклеофильные биполярные мезомерные 1,4-дигидроформы [1–3]. Благодаря именно им на завершающей стадии происходит не обычно наблюдающееся присоединение оставшегося бромид иона к положительно заряженному атому C₍₂₎ бывшего аллильного фрагмента, а замыкание оксазольного цикла с участием соседнего О-анионного центра.

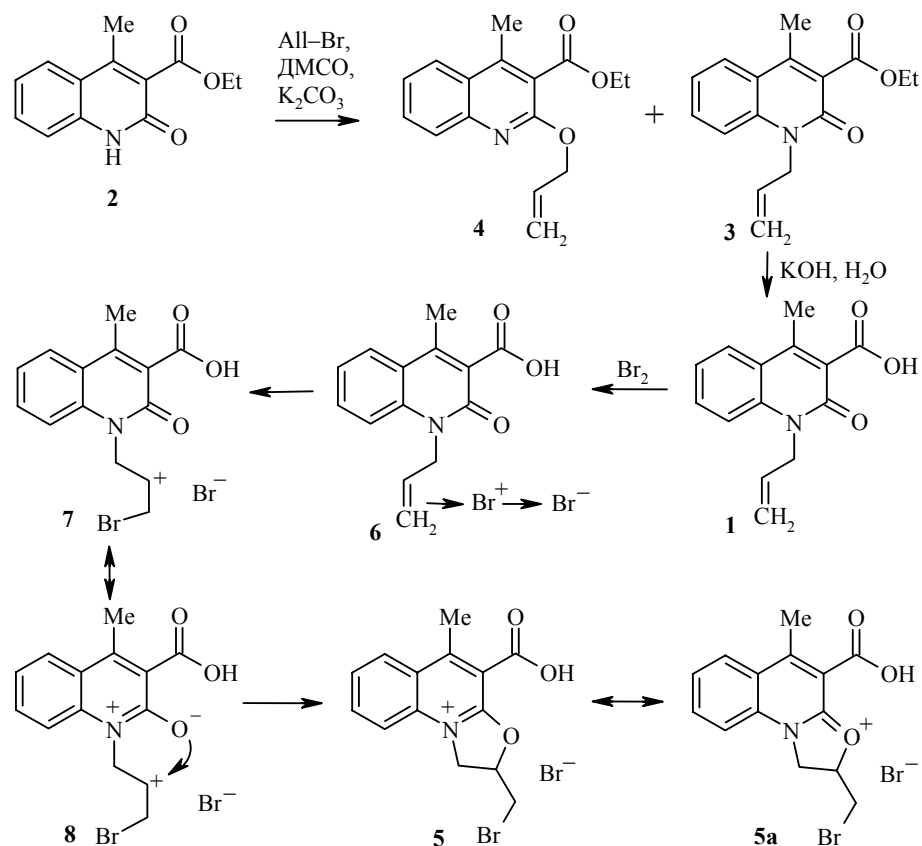
Продолжая изучение синтетического потенциала данной реакции, в настоящем сообщении мы исследовали бромирование 1-аллил-4-метил-2-оксо-1,2-дигидрохинолин-3-карбоновой кислоты (**1**). Интерес к такому исследованию обусловлен, прежде всего, тем, что 4-метилзамещенная кислота **1** в силу своего строения не способна к кето-енольной таутомерии. По этой причине для нее невозможно образование 1,4-дигидроформы, обеспечивающей гетероциклизацию в случае 4-гидроксианалогов, и, следовательно, взаимодействие с бромом должно протекать несколько иначе.

Исходная кислота **1** получена алкилированием этилового эфира **2** аллилбромидом в системе ДМСО/K₂CO₃ с последующим щелочным гидролизом N-аллильного производного **3**. Побочный O-аллильный изомер **4** в таких условиях образуется с выходом всего лишь 5%. Бромирование кислоты **1** осуществляли в стандартных условиях – молекулярным бромом в растворе ледяной уксусной кислоты.

* Сообщение 128 см. [1].

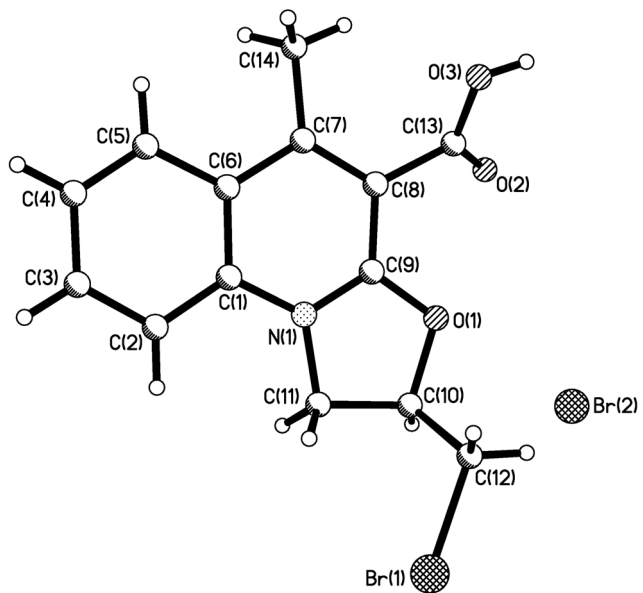
Для однозначного решения вопроса о строении полученного соединения

ния мы предприняли рентгеноструктурное исследование, показавшее, что он является бромидом 2-бромметил-4-карбокси-5-метил-1,2-дигидрооксазоло[3,2-*a*]хинолиния (**5**). В независимой части элементарной ячейки этого соединения находится положительно заряженная молекула 2-бромметил-4-карбокси-5-метил-1,2-дигидрооксазоло[3,2-*a*]хинолиния и анион Br^- (рисунок).



Трициклический фрагмент, а также атомы $\text{C}_{(13)}$ и $\text{C}_{(14)}$ органического катиона лежат в одной плоскости с точностью 0.02 Å, несмотря на наличие укороченных внутримолекулярных контактов $\text{H}_{(2)}\dots\text{C}_{(11)}$ 2.64 (сумма вандер-ваальсовых радиусов 2.87 [4]), $\text{H}_{(5)}\dots\text{C}_{(14)}$ 2.55 (2.87), $\text{H}_{(5)}\dots\text{H}_{(14c)}$ 2.20 (2.34), $\text{H}_{(14e)}\dots\text{C}_{(5)}$ 2.69 (2.87) и $\text{H}_{(14a)}\dots\text{C}_{(13)}$ 2.62 (2.87 Å). Длины связей $\text{N}_{(1)}-\text{C}_{(9)}$ 1.31(1) и $\text{O}_{(1)}-\text{C}_{(9)}$ 1.34(1) Å несколько укорочены по сравнению с их средними значениями 1.355 и 1.370 Å [5], вследствие чего строение органического катиона можно представить как резонансный гибрид двух канонических структур – **5** и **5a**.

Карбоксильная группа при атоме $\text{C}_{(8)}$ развернута относительно плоскости трициклического фрагмента (торсионный угол $\text{C}_{(9)}-\text{C}_{(8)}-\text{C}_{(13)}-\text{O}_{(2)}$ 43(1) $^\circ$), что, вероятно, можно объяснить отталкиванием между метильной и карбоксильной группами (уточненный внутримолекулярный контакт



Строение бромида оксазолохинолиния **5** с нумерацией атомов

$H_{(14a)}\dots O_{(3)}$ 2.35 (2.46 Å)). Такое положение карбоксильной группы стабилизировано межмолекулярной водородной связью $O_{(3)}-H_{(30)}\dots Br_{(2)}$ ($0.5+x, 0.5-y, -0.5+z$) $H\dots Br'$ 2.32 Å, $O-H\dots Br'$ 168°. Бромметильный заместитель при атоме $C_{(10)}$ занимает экваториальное положение (торсионный угол $C_{(12)}-C_{(10)}-C_{(11)}-N_{(1)}$ 119.2(7)°), а атом брома находится в $+sc$ -конформации относительно связи $C_{(11)}-C_{(10)}$ (торсионный угол $C_{(11)}-C_{(10)}-C_{(12)}-Br_{(1)}$ 60.1(8)°). При этом возникает укороченный внутримолекулярный контакт $H_{(11b)}\dots Br_{(1)}$ 2.87 Å (3.23 Å).

В кристалле молекулы бромида оксазолохинолиния **5** образуют стопки вдоль кристаллографического направления (1 0 0) и связаны с атомами брома слабыми межмолекулярными водородными связями $C_{(4)}-H_{(4)}\dots Br_{(1)}$ ($0.5-x, 0.5+y, 1.5-z$) $H\dots Br'$ 3.06 Å, $C-H\dots Br'$ 163°; $C_{(5)}-H_{(5)}\dots Br_{(2)}$ ($0.5-x, 0.5+y, 0.5-z$) $H\dots Br'$ 2.78 Å, $C-H\dots Br'$ 166°; $C_{(11)}-H_{(11b)}\dots Br_{(2)}$ ($-0.5+x, 0.5-y, 0.5+z$) $H\dots Br'$ 2.92 Å, $C-H\dots Br'$ 151°; $C_{(12)}-H_{(12a)}\dots Br_{(2)}$ ($0.5+x, 0.5-y, 0.5+z$) $H\dots Br'$ 2.89 Å, $C-H\dots Br'$ 149°. Также в кристалле обнаружены межмолекулярные укороченные контакты $H_{(14b)}\dots C_{(3)}$ ($1-x, 1-y, 1-z$) 2.79 (2.87), $H_{(14b)}\dots C_{(4)}$ ($1-x, 1-y, 1-z$) 2.76 (2.87), $H_{(14c)}\dots C_{(3)}$ ($-x, 1-y, 1-z$) 2.79 (2.87), $H_{(11b)}\dots Br_{(2)}$ ($0.5+x, 0.5-y, 0.5+z$) 3.15 (3.23), $Br_{(1)}\dots Br_{(2)}$ ($x, y, 1+z$) 3.69 Å (3.94 Å).

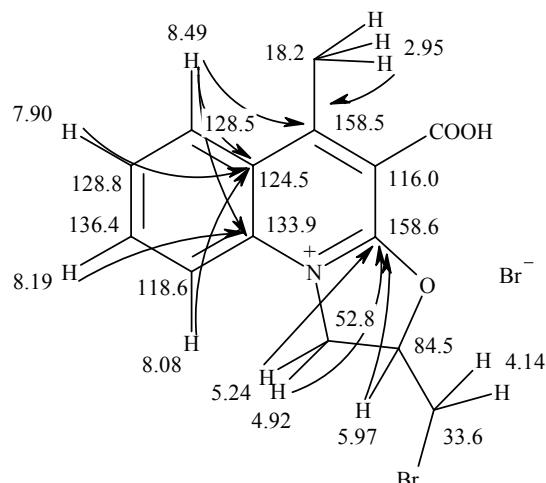
Для бромида оксазолохинолиния **5** была также исследована структура методами корреляционной спектроскопии ЯМР. Измерение спектра COSY позволило сделать надежные отнесения сигналов в протонном спектре, а измерение спектров по гетероядерным корреляциям через 1 связь (HMQC) и через 2–3 химические связи (HMBC) позволило отнести сигналы в углеродном спектре соединения. В табл. 1 приведены все найденные для этого соединения гетероядерные корреляции.

Таблица 1

Гетероядерные ^1H – ^{13}C корреляции, найденные для бромида оксазолохинолиния 5

δ , м. д.	HMQC	HMBC
8.49	128.5	136.4; 133.9; 124.5; 158.5
8.19	136.4	133.9; 128.5; 124.5
8.08	118.6	136.4; 128.8; 124.5
7.90	128.8	136.4; 133.9; 128.8; 124.5; 118.6
5.97	84.5	158.6
5.24	52.8	158.6; 84.5; 33.6
4.92	52.8	158.6; 84.5; 33.6
4.14	33.6	84.5; 52.8
2.95	18.2	158.5; 124.5; 116.0

Ниже приведены отнесения сигналов в протонном и углеродном спектрах соединения 5. Стрелками показаны важнейшие корреляции в спектре HMBC, послужившие основанием для отнесений сигналов.



Интересной особенностью спектра ЯМР ^{13}C соединения 5 оказалось то, что химические сдвиги сигналов атомов $\text{C}_{(3a)}$ и $\text{C}_{(5)}$ весьма близки. Оба они поглощают при 158.6 м. д. с едва различимой разницей химических сдвигов. Однако отнесение данных сигналов следует из наличия корреляций для атома $\text{C}_{(3a)}$ с протонными сигналами оксазолинового цикла, а для атома $\text{C}_{(5)}$ – с сигналом протонов метильной группы и H-6, которые отстоят от атома $\text{C}_{(5)}$, соответственно, на 2 и 3 химические связи.

Таким образом, проведенное исследование позволяет утверждать, что невозможность некоторых N-аллил-1,2-дигидрохинолин-2-онов образовывать 1,4-дигидроформу не является препятствием для гетероциклизации.

Таблица 2

Длины связей (*l*) в структуре бромида оксазолохинолиния 5

Связь	<i>l</i> , Å	Связь	<i>l</i> , Å	Связь	<i>l</i> , Å
Br ₍₁₎ —C ₍₁₂₎	1.956(9)	C ₍₆₎ —C ₍₇₎	1.45(1)	O ₍₃₎ —C ₍₁₃₎	1.32(1)
N ₍₁₎ —C ₍₁₎	1.38(1)	C ₍₇₎ —C ₍₁₄₎	1.49(1)	C ₍₁₎ —C ₍₆₎	1.41(1)
O ₍₁₎ —C ₍₉₎	1.34(1)	C ₍₈₎ —C ₍₁₃₎	1.51(1)	C ₍₃₎ —C ₍₄₎	1.39(1)
O ₍₂₎ —C ₍₁₃₎	1.212(9)	C ₍₁₀₎ —C ₍₁₁₎	1.55(1)	C ₍₅₎ —C ₍₆₎	1.43(1)
C ₍₁₎ —C ₍₂₎	1.40(1)	N ₍₁₎ —C ₍₉₎	1.31(1)	C ₍₇₎ —C ₍₈₎	1.39(1)
C ₍₂₎ —C ₍₃₎	1.40(1)	N ₍₁₎ —C ₍₁₁₎	1.47(1)	C ₍₈₎ —C ₍₉₎	1.41(1)
C ₍₄₎ —C ₍₅₎	1.34(1)	O ₍₁₎ —C ₍₁₀₎	1.485(9)	C ₍₁₀₎ —C ₍₁₂₎	1.49(1)

В таких случаях начальные стадии бромирования носят общий характер с алкенами: аллильное производное **1** → π-комплекс **6** → вторичный карбкатион **7**. Однако в отличие от 4-гидроксихинолин-2-онов, происходящая затем циклизация становится возможной за счет отмечавшегося нами ранее [6] существенного вклада в резонансный гибрид подобных соединений уже совершенно иных по строению биполярных форм – ароматических. И поскольку в интермедиатах типа **8** есть не участвующий в дальнейших превращениях четвертичный атом азота, то конечным продуктом реакции может быть только нейтральный в целом бромид оксазолохинолиния.

Таблица 3

Валентные углы (ω) в структуре бромида оксазолохинолиния 5

Угол	ω, град.	Угол	ω, град.	Угол	ω, град.
C ₍₉₎ —N ₍₁₎ —C ₍₁₎	122.1(7)	O ₍₁₎ —C ₍₉₎ —C ₍₈₎	122.8(7)	C ₍₅₎ —C ₍₆₎ —C ₍₇₎	122.3(7)
C ₍₁₎ —N ₍₁₎ —C ₍₁₁₎	125.8(7)	O ₍₁₎ —C ₍₁₀₎ —C ₍₁₁₎	104.4(6)	C ₍₈₎ —C ₍₇₎ —C ₍₁₄₎	124.5(7)
N ₍₁₎ —C ₍₁₎ —C ₍₂₎	120.4(7)	N ₍₁₎ —C ₍₁₁₎ —C ₍₁₀₎	101.5(6)	C ₍₇₎ —C ₍₈₎ —C ₍₉₎	117.6(7)
C ₍₂₎ —C ₍₁₎ —C ₍₆₎	122.0(7)	O ₍₂₎ —C ₍₁₃₎ —O ₍₃₎	126.2(7)	C ₍₉₎ —C ₍₈₎ —C ₍₁₃₎	118.7(7)
C ₍₄₎ —C ₍₃₎ —C ₍₂₎	121.4(7)	O ₍₃₎ —C ₍₁₃₎ —C ₍₈₎	113.0(6)	N ₍₁₎ —C ₍₉₎ —C ₍₈₎	123.7(8)
C ₍₄₎ —C ₍₅₎ —C ₍₆₎	120.4(8)	C ₍₉₎ —N ₍₁₎ —C ₍₁₁₎	112.0(7)	O ₍₁₎ —C ₍₁₀₎ —C ₍₁₂₎	107.4(7)
C ₍₁₎ —C ₍₆₎ —C ₍₇₎	120.3(7)	C ₍₉₎ —O ₍₁₎ —C ₍₁₀₎	108.5(6)	C ₍₁₂₎ —C ₍₁₀₎ —C ₍₁₁₎	114.2(7)
C ₍₈₎ —C ₍₇₎ —C ₍₆₎	118.6(7)	N ₍₁₎ —C ₍₁₎ —C ₍₆₎	117.6(7)	C ₍₁₀₎ —C ₍₁₂₎ —Br ₍₁₎	108.2(6)
C ₍₆₎ —C ₍₇₎ —C ₍₁₄₎	116.9(7)	C ₍₃₎ —C ₍₂₎ —C ₍₁₎	117.3(8)	O ₍₂₎ —C ₍₁₃₎ —C ₍₈₎	120.8(7)
C ₍₇₎ —C ₍₈₎ —C ₍₁₃₎	123.5(7)	C ₍₅₎ —C ₍₄₎ —C ₍₃₎	121.4(8)		
N ₍₁₎ —C ₍₉₎ —O ₍₁₎	113.6(7)	C ₍₁₎ —C ₍₆₎ —C ₍₅₎	117.4(7)		

ЭКСПЕРИМЕНТАЛЬНАЯ ЧАСТЬ

Спектры ЯМР ^1H и ^{13}C бромида оксазолохинолиния **5**, эксперименты по двумерной спектроскопии ЯМР ^1H COSY, а также гетероядерные корреляционные спектры HMQC и HMBC зарегистрированы на спектрометре Varian Mercury-400 (400 и 100 МГц, соответственно, для ^1H и ^{13}C). Все двумерные эксперименты проводились с градиентной селекцией полезных сигналов. Время смешивания в импульсных последовательностях соответствовало $^1J_{\text{CH}} = 140$ и $^{2-3}J_{\text{CH}} = 8$ Гц. Количество инкрементов в спектрах COSY и HMQC составило 128, а в спектрах HMBC – 400. Спектры ЯМР ^1H аллильных производных записаны на приборе Varian Mercury-VX-200 (200 МГц). Во всех случаях растворитель DMSO-d₆, внутренний стандарт TMC. Этиловый эфир 4-метил-2-оксо-1,2-дигидрохинолин-3-карбоновой кислоты (**2**) получен по методике работы [6].

Этиловый эфир 1-аллил-4-метил-2-оксо-1,2-дигидрохинолин-3-карбоновой кислоты (3**).** К смеси 2.31 г (0.01 моль) соединения **2** и 2.76 г (0.02 моль) K₂CO₃ в 20 мл DMSO прибавляют 1.3 мл (0.015 моль) аллилбромида и перемешивают в течение 2 ч при 90 °C. Охлаждают, разбавляют водой. Выделившийся осадок экстрагируют CH₂Cl₂ (3 × 20 мл). Органические вытяжки объединяют, растворитель отгоняют, остаток обрабатывают гексаном (3 × 15 мл). Не растворившийся в гексане осадок растворяют в 30 мл эфира, чистят углем и после отгонки растворителя выделяют 2.28 г (84%) N-этилзамещенного эфира **3**. R_f 0.42 (Silufol UV-254, Et₂O-гексан, 2 : 1). Т. пл. 66–68 °C (из водного этанола). Спектр ЯМР ^1H , δ, м. д. (J, Гц): 7.88 (1H, д, J = 8.2 и J = 1.2, H-5); 7.64 (1H, т, д, J = 7.9 и J = 1.2, H-7); 7.47 (1H, д, J = 8.3, H-8); 7.32 (1H, т, д, J = 7.4 и J = 1.0, H-6); 5.91 (1H, м, CH=CH₂); 5.13 (1H, д, J = 10.5 и J = 1.3, NCH₂CH=CH-cis); 4.95 (1H, д, д, J = 17.4 и J = 1.3, NCH₂CH=CH-trans); 4.84 (2H, д, J = 4.7, NCH₂); 4.30 (2H, к, J = 7.1, OCH₂); 2.41 (3H, с, 4-CH₃); 1.27 (3H, т, J = 7.1, OCH₂CH₃). Найдено, %: C 70.75; H 6.23; N 5.08. C₁₆H₁₇NO₃. Вычислено, %: C 70.83; H 6.32; N 5.16.

Этиловый эфир 2-аллилокси-4-метилхинолин-3-карбоновой кислоты (4**).** Оставшийся после выделения N-этилзамещенного эфира **3** гексановый экстракт (см. предыдущий пример) чистят углем, после чего растворитель удаляют. Получают 0.13 г (5%) 2-аллил-оксипроизводного **4** в виде бесцветной маслянистой жидкости. R_f 0.89 (Silufol UV-254, Et₂O-гексан, 2:1). Спектр ЯМР ^1H , δ, м. д. (J, Гц): 8.04 (1H, д, J = 8.3, H-5); 7.75 (2H, м, H-7, 8); 7.49 (1H, т, д, J = 7.3 и J = 1.9, H-6); 6.07 (1H, м, CH=CH₂); 5.37 (1H, д, д, J = 17.0 и J = 1.9, OCH₂CH=CH-trans); 5.22 (1H, д, д, J = 10.6 и J = 1.9, OCH₂CH=CH-cis); 4.96 (2H, д, J = 4.8, OCH₂CH=); 4.37 (2H, к, J = 7.2, OCH₂CH₃); 2.58 (3H, с, 4-CH₃); 1.30 (3H, т, J = 7.2, OCH₂CH₃). Найдено, %: C 70.73; H 6.40; N 5.21. C₁₆H₁₇NO₃. Вычислено, %: C 70.83; H 6.32; N 5.16.

1-Аллил-4-метил-2-оксо-1,2-дигидрохинолин-3-карбоновая кислота (1**).** Смесь 2.71 г (0.01 моль) соединения **3** и 30 мл 20% водного раствора KOH кипятят 3 ч. Охлаждают, подкисляют HCl до pH 3. Выделившийся осадок кислоты **1** отфильтровывают, промывают водой, сушат. Выход 2.20 г (90%). Т. пл. 131–133 °C (из этанола). Спектр ЯМР ^1H , δ, м. д. (J, Гц): 13.46 (1H, уш. с, COOH); 7.90 (1H, д, J = 8.0, H-5); 7.64 (1H, т, J = 7.9, H-7); 7.47 (1H, д, J = 8.3, H-8); 7.32 (1H, т, J = 7.6, H-6); 5.92 (1H, м, CH=CH₂); 5.14 (1H, д, д, J = 10.5 и J = 1.3, NCH₂CH=CH-cis); 4.97 (1H, д, д, J = 17.5 и J = 1.3, NCH₂CH=CH-trans); 4.89 (2H, д, J = 4.7, NCH₂); 2.45 (3H, с, CH₃). Найдено, %: C 69.22; H 4.46; N 5.69. C₁₄H₁₃NO₃. Вычислено, %: C 69.12; H 5.39; N 5.76.

Бромид 2-бромметил-4-карбокси-5-метил-1,2-дигидрооксазоло[3,2-*a*]хинолиния (5**).** К раствору 2.43 г (0.01 моль) N-аллилзамещенной кислоты **1** в 20 мл уксусной кислоты при перемешивании прибавляют 0.52 мл (0.01 моль) брома, который сразу же обесцвечивается. Разбавляют водой. Выпавший осадок отфильтровывают, промывают холодной водой, сушат. Выход 3.26 г (81%). Т. пл. 213–215 °C (этанол). Спектр ЯМР ^1H , δ, м. д. (J, Гц): 8.49 (1H, д, J = 7.9, H-6); 8.19 (1H, т, J = 7.9, H-8); 8.08 (1H, д, J = 7.9, H-9); 7.90 (1H, т, J = 7.9, H-7); 5.97 (1H, м, CHO); 5.24 (1H, т, J = 11.3, NCH); 4.92 (1H, д, д, J = 11.3 и J = 7.0, NCH); 4.14 (2H, м, CH₂Br); 2.95 (3H, с, 5-CH₃). Спектр ЯМР ^{13}C , δ, м. д.: 163.9 (COO), 158.6 (C_(3a)), 158.5 (C₍₅₎), 136.4 (C₍₈₎), 133.9 (C_(9a)), 128.8 (C₍₇₎), 128.5 (C₍₆₎), 124.5 (C_(5a)), 118.6 (C₍₉₎), 116.0 (C₍₄₎), 84.5 (C₍₂₎), 52.8 (C₍₁₎), 33.6 (CH₂Br), 18.2 (5-CH₃). Найдено, %: C 41.81; H 3.30; N 3.36. C₁₄H₁₃BrNO₃·Br. Вычислено, %: C 41.72; H 3.25; N 3.47.

Рентгеноструктурное исследование. Кристаллы соединения **5** моноклинные (этанол), при -173°C : $a = 7.140(2)$, $b = 23.844(5)$, $c = 8.128(2)$ Å, $\beta = 90.06(2)^{\circ}$, $V = 1383.8(5)$ Å 3 , $M_r = 403.07$, $Z = 4$, пространственная группа $P2_1/n$, $d_{\text{выч}} = 1.935$ г/см 3 , $\mu(\text{MoK}\alpha) = 5.864$ мм $^{-1}$, $F(000) = 792$. Параметры элементарной ячейки и интенсивности 7700 отражений (2443 независимых, $R_{\text{int}} = 0.133$) измерены на дифрактометре Xcalibur-3 (MoK α излучение, CCD-детектор, графитовый монохроматор, ω -сканирование, $2\theta_{\text{max}} = 50^{\circ}$). Поглощение учтено полуэмпирическим методом по результатам ψ -сканирования ($T_{\text{min}} = 0.319$, $T_{\text{max}} = 0.752$). Структура расшифрована прямым методом по комплексу программ SHELXTL [7]. Положения атомов водорода рассчитаны геометрически и уточнены по модели "наездника" с $U_{\text{iso}} = nU_{\text{eq}}$ неводородного атома, связанного с данным водородным ($n = 1.5$ для метильной группы и $n = 1.2$ для остальных атомов водорода). Структура уточнена по F^2 полноматричным МНК в анизотропном приближении для неводородных атомов до $wR_2 = 0.117$ по 2355 отражениям ($R_1 = 0.073$ по 1901 отражению с $F > 4\sigma(F)$, $S = 1.060$). Полная кристаллографическая информация депонирована в Кембриджском банке структурных данных (депонент № CCDC 619575). Межатомные расстояния и валентные углы представлены в табл. 2, 3.

СПИСОК ЛИТЕРАТУРЫ

1. И. В. Украинец, Н. Л. Березнякова, А. В. Туров, С. В. Слободзян, *XTC*, 1365 (2007).
2. И. В. Украинец, Л. В. Сидоренко, О. В. Горохова, С. В. Шишкина, А. В. Туров, *XTC*, 736 (2007).
3. И. В. Украинец, Н. Л. Березнякова, О. В. Горохова, А. В. Туров, С. В. Шишкина, *XTC*, 1180 (2007). [*Chem. Heterocycl. Comp.*, **43**, 617 (2007)].
4. Ю. В. Зефиров, *Кристаллография*, **42**, 936 (1997).
5. Н.-В. Burgi, J. D. Dunitz, *Structure Correlation*, VCH, Weinheim, 1994, vol. 2, p. 741.
6. И. В. Украинец, Л. В. Сидоренко, О. В. Горохова, С. В. Шишкина, *XTC*, 887 (2006). [*Chem. Heterocycl. Comp.*, **42**, 776 (2006)].
7. G. M. Sheldrick, *SHELXTL PLUS. PC Version. A System of Computer Programs for the Determination of Crystal Structure from X-ray Diffraction Data*. Rev. 5.1 (1998).

Национальный фармацевтический
университет, Харьков 61002, Украина
e-mail: uiv@kharkov.ua

Поступило 25.06.2006

^aКиевский национальный университет
им. Тараса Шевченко, Киев 01033, Украина
e-mail: nmrlab@univ.kiev.ua